

技術解說

레이저加工

金 獄 鉢*

1. 緒言

1960年, 루비 레이저의 成功以來, 레이저光의 뛰어난 指向性과 高出力性에 着眼하여 레이저加工이 開發되어 왔다.

레이저光은 거의 平行光線이라고 보아지므로 光學系(例를 들면 볼록렌즈)에서 상당히 작은 스포트로 收束된다. 레이저加工에는 瞬間出力值가 큰 레이저光을 使用하므로 收束된 部分에서의 單位時間當의 에너지密度는 대단히 크게 된다. 따라서 레이저光을 加工面에 收束시키면 그 部分은 레이저光을 吸收하여 高溫으로 加熱되어 溶融 또는 蒸發한다.

레이저光에 依한 穿孔加工 및 熔接은 각각 레이저光에 의한 試料의 加熱蒸發 및 加熱溶融에 의하여 行하여 진다.

레이저加工을 目的으로 한 레이저加工裝置가 發賣되고 있는데, 레이저加工은 發展途上의 技術이고 現狀에서는 微細加工에의 適用을 試驗하고 있는 段階에 있다.

여기에서는 레이저加工의 現狀에 대해서 記述하려고 하는데 레이저加工을 理解하기 위해서 太陽光을 렌즈로 收束하여 검은 종이를 태운 經驗을 想起하시기 바란다.

2. 레이저光의 指向性과 出力

레이저光의 特徵으로서는 (a) 可干涉性 (b) 單色性 (c) 指向性 (d) 高出力性 등을 들 수 있다.

여기에서는 레이저加工에 關係가 있는 (c), (d)에 대해서 述한다.

2-1 指向性

平行平面型 共振器에서 同一位相으로 發振하고 있는 레이저光의 曲率角 θ 는 回折理論에 依하여 次式으로 나타내진다.

$$\theta \approx \frac{\lambda}{D} \text{ (rad)} \quad (1)$$

여기서 λ 와 D는 각각 光의 波長과 光源의 徑이다. 例를 들면 D=10mm의 루비 룻드를 使用하면 $\lambda=0.6943\mu$ 이므로 θ 는 거의 10^{-4}rad 으로 된다. 그러나 實際의 루비 레이저에서의 θ 는 $10^{-2} \sim 10^{-3}\text{rad}$ 이다. 이것은 結晶의 光學的 不均一 등에 의하여 룻드軸에 따른 系狀의 部分이 個個로 發振하든지 軸外發振(롯드軸에 平行이 아닌 經路에서의 發振)을 하기 때문이다. 太陽光은 거의 平行光線으로 取扱하고 있는데 그 曲率角은 대략 10^{-2}rad 이므로 現狀에서도 레이저光의 平行度는 太陽光보다도 뛰어나다.

2-2 出力

一般으로 레이저 出力(E_0)은 次式으로 나타내진다.

$$E_0 = \alpha(E_i - E_{th}) \quad (2)$$

여기서 E_i 는 勵起入力, E_{th} 는 레이저發振에 必要한 最低勵起入力(threshold值)이다.

變換効率 α 와 E_{th} 는 使用한 레이저 룻드 및 勵起効率에 의해서 定해지는 量이다. 固體레이저에서의 α 值은 $10^{-2} \sim 10^{-3}$ 이고 數 1000J의 入力에 대하여 出力은 단지 數J의 경우가 많다. 그러나 레이저光은 그림1과 같이 펄스狀의 發振을 數밀리 m sec秒間 行하고 있으므로 平均出力值(出力/發振時間)는 數 kW의 크기로 된다. 例를 들면 그림1의 경우 發振時間은 約 1 m sec이고 레이저 出力의 測定值는 대략 2J이었으므로 平均出力值는 2kW로 된다. 瞬間出力值는 1個의 펄스出力值를 나타내고 보통은 平均出力值의 數

* 日本理化學研究所 理學博士

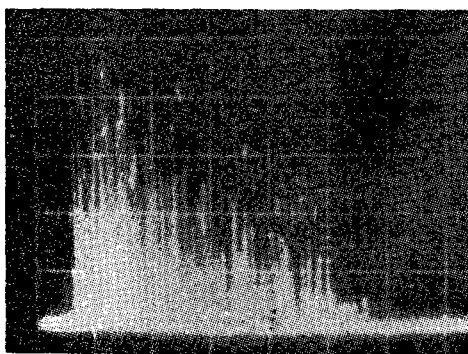


그림 1. 레이저發振波形

10倍의 値를 나타낸다. 펄스發振 레이저의 平均出力值, 瞬間出力值의 關係를 그림2에 表示한다.

比較하기 위해서 太陽光의 地球表面上 1cm^2 當의 照射파워를 表示하면 그 値는 대략 0.1W 이고 레이저 出力에 훨씬 미치지 못한다. 太陽光을 렌즈로 收束하면 검은 종이를 태우는 것 같아 太陽光보다 數萬倍나 센 레이저光을 收束하면 金屬을 蒸發시킬 수 있다.

3. 最小스포트徑과 파워密度

열角 θ 의 平行光線을 焦點距離 f 인 렌즈로 收束하면 焦點面에서의 스포트徑 d 는 次式으로 나타내진다. (그림3参照)

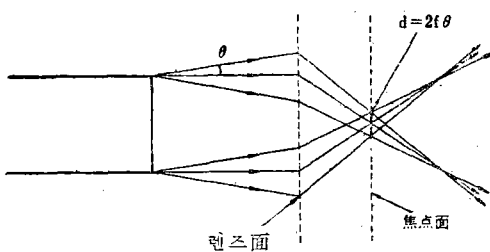


그림 3. 열角과 收束徑의 關係

$$d = 2f\theta \quad (3)$$

레이저光의 경우 現狀에서는 $\theta = 10^{-2} \sim 10^{-3}\text{rad}$ 이므로 焦點距離 數10mm인 렌즈를 使用하면 徑數 100μ 의 스포트가 얻어진다.

레이저光을 렌즈로 收束한 경우 焦點面에서의

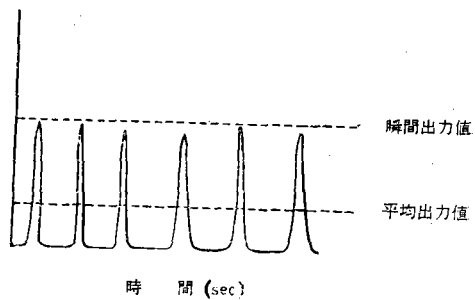


그림 2. 平均出力值와 瞬間出力值

레이저光의 파워密度(F)는 次式으로 나타내 진다.

$$F = \frac{4P}{\pi d^2} \quad (4)$$

여기서 P 는 레이저光의 出力파워이다. 例를 들면 出力數 10J (平均파워 $\sim 10^4\text{W}$)의 레이저光을 $f=50\text{mm}$ 의 렌즈로 收束하였을 때의 파워密度는 式(3), (4)에서 $10^6 \sim 10^8\text{W/cm}^2$ 로 된다. 比較하기 위해서 表1에 여러 가지 에너지源의 最小스포트 面積과 파워密度를 表示한다.

表1. 에너지源의 比較

種別 項目	아세치렌 스	太陽光	電子管	레이저*
最少스포트面積 (cm ²)	10^{-1}	10^{-3}	10^{-1}	10^{-4}
파워密度(w/cm ²)	10^4	10^3	10^9	10^9

* 레이저出力: 10^8W , $\theta \sim 10^{-3}\text{rad}$, $f=50\text{mm}$

4. 레이저加工裝置

레이저加工裝置는 레이저 헤드(레이저 롯드, Xe管, 反射鏡等), 收束用レンズ, 試料觀測用顯微鏡試料臺등으로 構成되고 있다. 加工裝置의 例를 그림4와 그림5에 表示한다. 레이저 헤드의 位置가 垂直인가 水平인가의 差異는 있는데 主要部의 構成은 꼭 같다.

그림4의 裝置에서는 길이 175mm, 徑 9.5mm의 루비 롯드를 使用하고 反復操作에 便利하도록 強制空冷을 行하고 있다. 光勵起에는 헤리튬 Xe管을 2個併用하고 레이저光의 收束에는

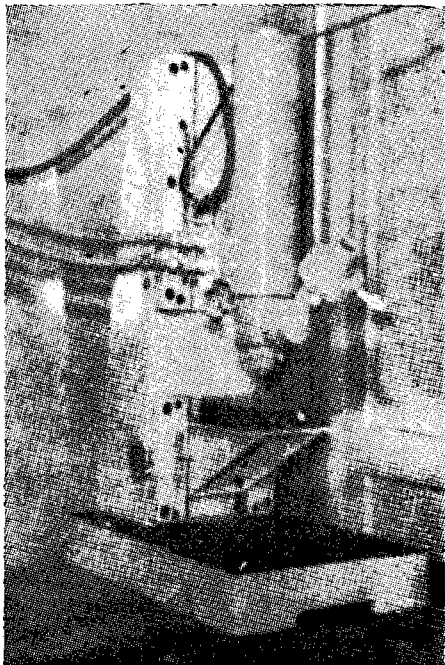


그림 4. 레이저加工裝置(理研)

焦點距離 30mm, 또는 15mm의 렌즈가 使用되고 있다. 最高勵起入力은 20,000J(5KV, 800 μ F × 2), 最高出力~30J, 最大發振繼續時間~2msec이다. 레이저加工時에는 加工面의 位置를 顯微鏡으로 보면서 位置決定을 한後 거울을 내리고 레이저發振을 시켜 試料를 加工한다. 安全하기 위해서 거울을 내리지 않은 狀態에서는 勵起用 Xe管은 發光하지 않도록 하고 있다.

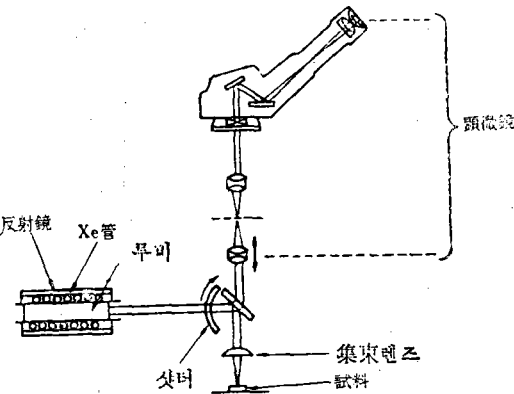


그림 5. 레이저加工裝置(Hughes社)

管을 同時に 水冷하는 水冷式레이저 헤드를 使用할 때가 많다. 光勵起에 數個의 直線狀Xe管을 併用할 때도 있다.

現在 加工에 使用되는 레이저는 出力이 큰 펄스狀發振(P)의 루비 레이저 및 Na 유리레이저 인데, 連續發振(CW) 레이저라도 加工할 수 있을 程度의 大出力を 얻을 수 있는 것이 開發되고 있다. 表2에 大出力레이저의 特性을 表示한다.

表2 레이저特性

項 種	레이저物質	發振波長 (μ)	最 高 出 力	指 向 性 (rad)	變 換 效 率
固體 레이저	루비	0.6943	P: 1500J CW:>1W	$10^{-1} \sim 10^{-5}$ $\sim 10^{-3}$	$\sim 10^{-1}$ $\sim 10^{-3}$
	유리(Nd ³⁺)	1.06	P: 루비와 同程度	$10^{-1} \sim 10^{-5}$	$\sim 4 \times 10^{-1}$
	Y ₃ Al ₅ O ₁₂ (Nd ³⁺)	1.06	CW: 1~2W	$\sim 10^{-3}$	$\sim 10^{-3}$
氣體 레이저	H _e -N _e	1.15	P:>200W 反復 2kc	$10^{-3} \sim 10^{-4}$	$\sim 10^{-3}$
	Ar	0.4880 0.5145	CW:>10W	$10^{-3} \sim 10^{-4}$	$\sim 10^{-3}$
	CO ₂ (N ₂ , H ₂)	10.6	CW:>1KW	$10^{-1} \sim 10^{-3}$	$\sim 10^{-1}$

最近은 反復操作을 쉽게 하기 위해서 레이저 롳드를 水冷으로 하든지 또는 레이저 롳드와 Xe

레이저熔接에는 YAG(Y₃Al₅O₁₂)레이저, CO₂ 레이저等이 今後에 많이 使用될 것이라고 생각된다.

다. 또 CO₂레이저는 窄孔加工에도 充分히 利用된다.

5. 窪孔加工

레이저加工은 热傳導으로 消失되는 에너지를 될수록 레이저에 投入에너지가 加工에 有効하게 使用되도록 할 必要가 있다. 이렇게 하려면 펄스加工이 有効하다. 따라서 窪孔加工에는 펄스發振을 하는 固體레이저가 適合하다.

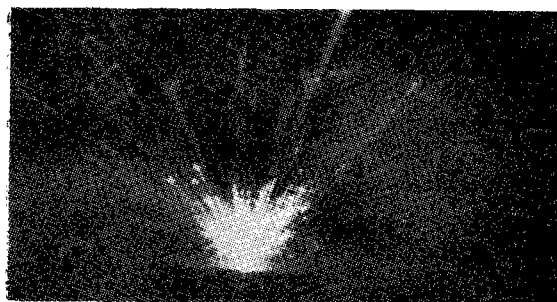
파워密度 F인 레이저光이 金屬試料에 照射되고 있을때 레이저光은 表面層數 100A로 거의 吸收되어 热로 된다. 表面溫度 T는 레이저光을 均一한 热流 또는 圓狀熱源으로 하고 加工試料를 半無限體로서 取扱하면 热傳導論에 依하여 次式으로 주어진다.

$$T = \frac{2F}{K} \left(\frac{Kt}{\pi} \right)^{1/2} \quad (b)$$

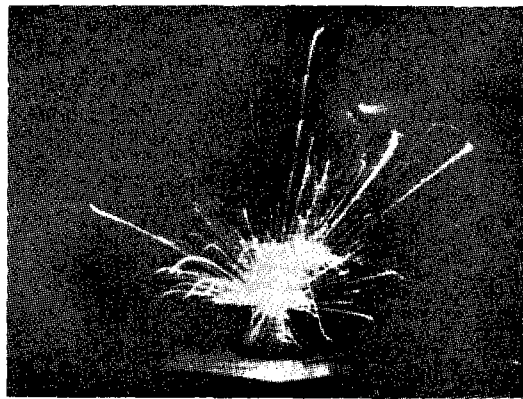
cm²이다. 따라서 레이저光의 收束에 f=30mm의 렌즈를 使用하면, 金屬의 加工에 必要한 레이저出力은 數J(平均파워數kW)이다.

그림6은 레이저加工의 瞬間을 表示하는 사진이고, 레이저光이 試料面에 부딪친 瞬間, 加工點에서 多數의 高熱溶融塊가 뒤고 있다. 真空中에서의 加工에서는 溶融塊의 飛散은 대부분의 金屬에서 觀測 되지 않는다.

(a)各種材料의 加工: 그림 7에 各種金屬에 대한 加工例를 表示한다. 融點이 높고 蒸發기 어려운 W, Ta는 加工되기 어렵다. 加工하기 쉬운것은 스테인레스나 Zr이고, 어느것이나 金屬中에서는 热傳導率이 작은 材料이고 融點도 그렇게 높지 않다. 热傳導가 나쁜 非金屬材料의 加工에서는 레이저光을 照射한 瞬間, 加工材가 잘게 炸개져버릴때가 많으므로 레이저出力, 發振時間등을 適當히 콘트롤 하지 않으면 안된다.



(a)



(b)

그림 6. 레이저加工의 瞬間(試料: (a)炭素鋼, (b) 실리콘)

여기서 K는 热傳導率(w/cm°Csec), K는 热擴散率(cm²/sec), t는 照射時間이다. 레이저 파워密度로서 平均파워密度를 照射時間으로 하여 發振繼續時間은 使用하여 表面溫度를概算하되, 金屬의 表面溫度를 沸點程度로 올리는데 必要한 파워密度는 대 부분의 金屬에 대하여 10⁵~10⁶w/

그림8은 다이 앤드에 다이스用의 구멍을 뚫은 것이다.

出力 10J, 發振時間 0.5msec의 레이저光을 125μ의 徑으로 收束하면 그림8(a)와 같이 다이 앤드는 破壞되는데, 出力を 3J로 내리면 窪孔이 可能하였다. 그림 8(b)는 두께 350μ의 다이

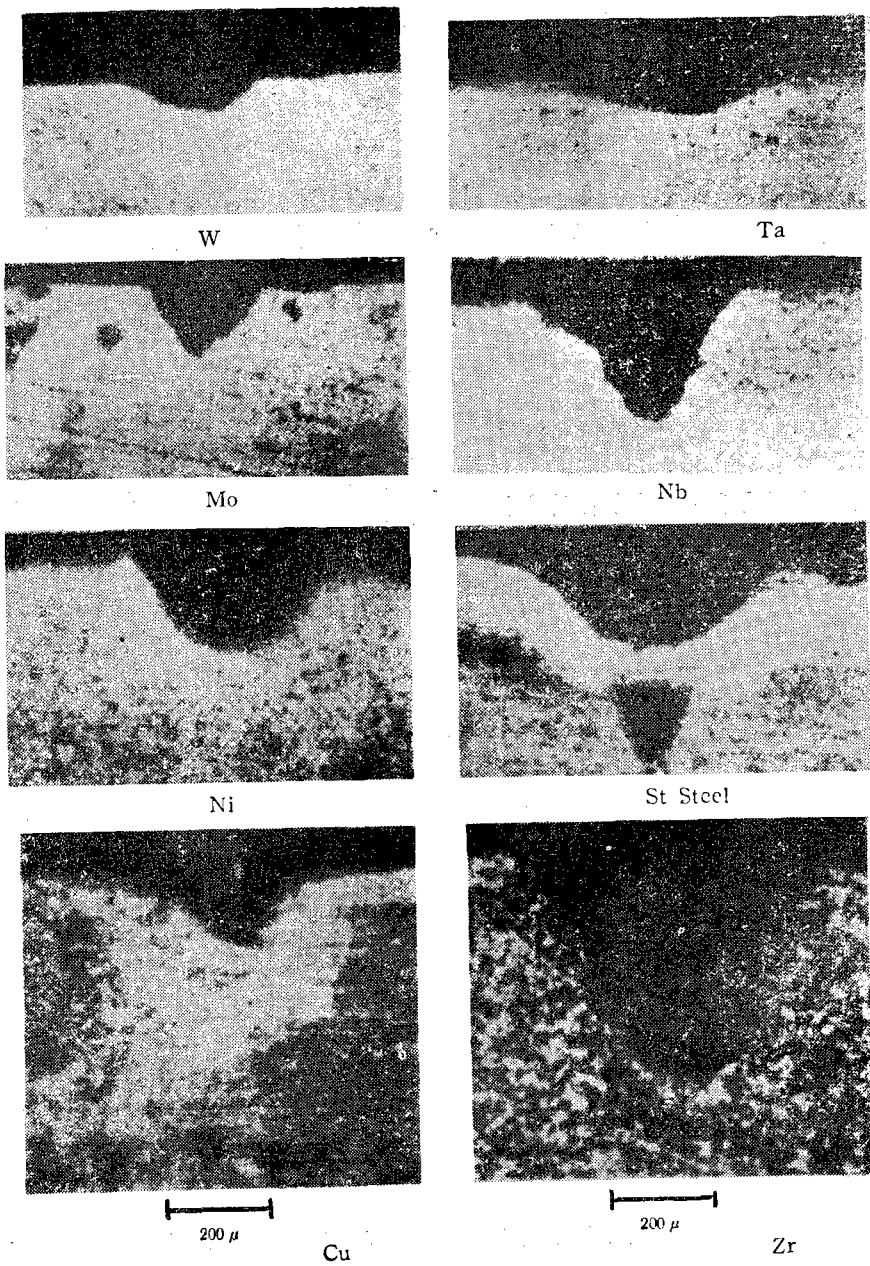


그림 7. 레이저加工用 各種金屬의 斷面腐食像) (레이저出力 : 1.2J 焦點距離 : 30mm)

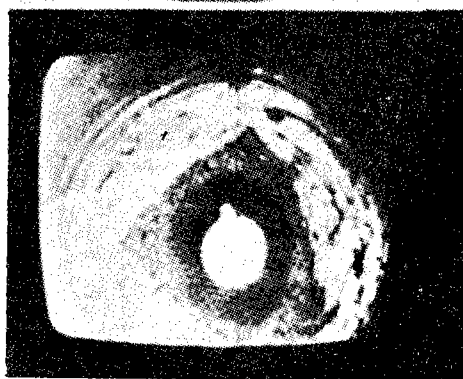
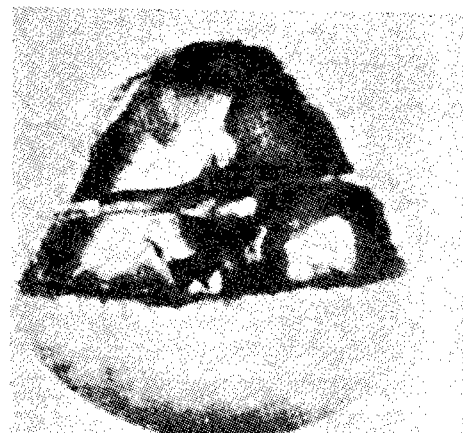


그림 8. 다이아몬드의 窄孔加工例

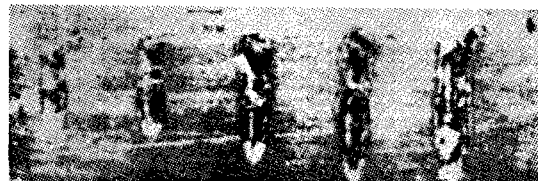


그림 10. 反復照射에 依한 窄孔加工例

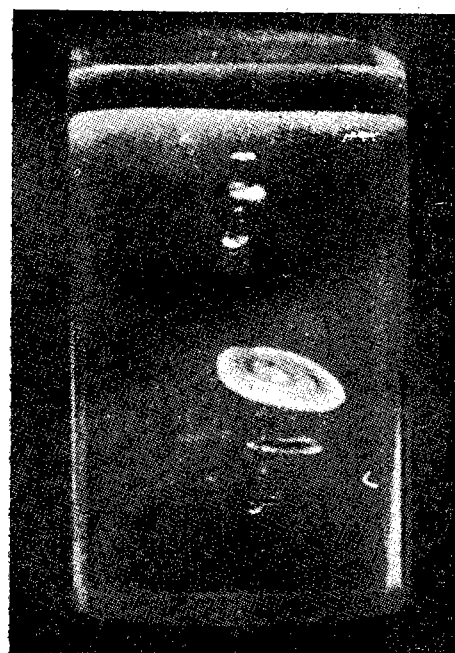
그림 11. 反復照射에 依한 窪孔加工例
(照射回數 : 20回)

그림 9. 透明樹脂의 加工

야몬드에 出力 4J, 發振時間 0.5msec의 레이저
光을 22回照射하여 175μ 의 구멍을 뽑은 例이다

光의 透明體는 거의 加工되지 않는 데 透明樹
脂에서는 그림9에 表示하는 바와 같이 收束렌즈
의 焦點附近에 加工模樣이 생긴다. 透明體를 通
하여 그 内部를 加工할 수 있는 것은 레이저加工
의 長點이고 眼科用凝固機는 이 原理를 應用하
고 있다.

(b) 反復加工: 그림10은 出力 8J, 發振時間
0.65msec의 레이저光을 反復照射하여 Ti板에
窄空加工을 한 例이다. 6回照射까지는 거의 照
射回數에 比例하여 깊이는 깊어지고 있는데 그
以上 照射하여도 깊이는 그렇게 變하지 않는다
이것은 加工穴의 入口部에서 金屬이 再固化하여

레이저光은 이部分의 蒸發에 거의 使用되기 때문일 것이다. 그림11은 出力95J의 레이저光을 20回照射하여 T板에 窄孔加工을 한例이다. 이에로 照射回數 7回以降은 구멍의 깊이는 그렇게 變하지 않았다.

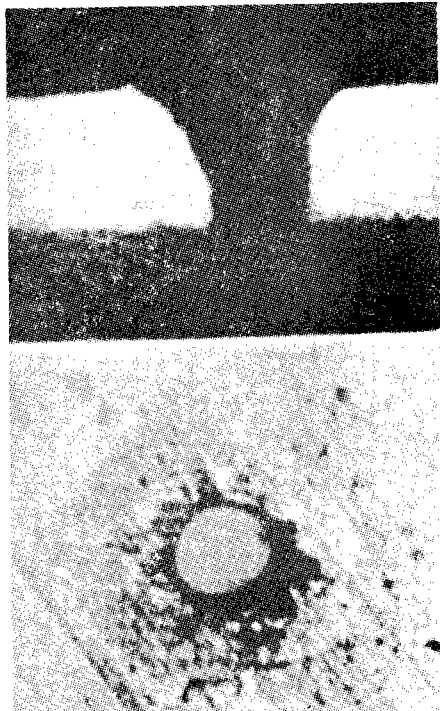


그림 12. 窪孔加工例(스테인레스)

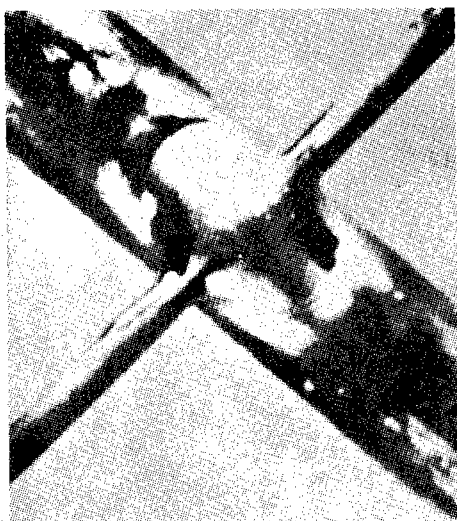


그림 13. 線끼리의 溶接例

(c) 加工徑과 加工깊이 : 加工깊이는 加工徑의 5~10倍程度이고, 最小스포트徑은 거의 100μ 이다.

(d) 加工穴의 形狀 : 그림12는 出力 1.2J에 레이저光을 $f=30mm$ 의 렌즈로 收束하여 두께 0.3mm의 스테인레스薄板에 구멍을貫通시킨例이다. 구멍의 形狀이 둥글지 않는것은 레이저光의 엘립角이 롯드軸에 對하여 對稱이 아닌 때문이다. 加工斷面은 그림 7, 11, 12에 보여지는 바와 같이 逆V形을 하고 있고 热加工의 特徵을 나타내고 있다.

(e) 加工効率 : 펄스發振의 固體레이저를 使用하면, 펄스加工이 自然히 行하여지고 있는것이 되고, 加工村表面에서의 反射損失은 있어도 热加工으로의 加工効率은 훨씬 높을것이期待된다. 그림7의 스테인레스의 窪孔加工에서의 加工効率(加工에 使用된 에너지의 照射레이저 에너지에 對한 百分率)은 數10%이다. 電子脈加工에서의 加工efficiency은 數%이다.

6. 溶接

金屬材料의 溶接時에는 溶接部에 溶融帶를 만들지 않으면 안된다. 레이저 에너지는 金屬의 表面層에서 거의 吸收되므로 溶融帶는 热傳導에 依해서만 일어난다. 따라서 溶接에는 피크파워가 그렇게 크지 않은 遼續發振레이저를 使用하는 것이 좋다. 表2에서 보는바와 같이 溶接에充分히 利用될 遼續發振레이저가 開發되고 있는데 아직 그렇게 使用되지 않는것이 現狀이다.

펄스發振의 固體레이저에서는 發振時間은 延長하여도 $\sim 10\text{msec}$ 가 限度이므로 펄스레이저에 依한 溶接은 短은 金屬材料에만 適用되고 热傳導率이 좋은 材料일수록 溶接하기 쉽다고 할 수 있다.

이제 平均파워 10^4W , 發振時間 1msec 인 레이저光을 鋼 및 銅에 照射하여例를 들면 表面溫度를 融點의 約3倍, 즉 $3000\sim 4000^\circ\text{C}$ 로 하는데는 式 (4), (5)에서 스포트徑을 $\sim 4\text{mm}$ (鋼), $\sim 2\text{mm}$ (銅)로 되도록 레이저光을 收束하지 않으면 안된다. 이에 材料의 融點을 考慮하면, 热計算의 結果, 鋼에서는 $\sim 0.1\text{mm}$, 銅에서는 ~ 0.4

mm程度의 두께인材料의溶接이可能하다. 材料를 겹쳐서溶接할 때, 下側材料에도溶融帶를 만들지 않으면 안되므로溶接可能한材料의 두께는 더욱넓어진다.

그림13에 徑 0.13mm인 W線과 徑 0.5mm인 Al線의溶接例를 그림14에 두께 0.25mm인 코발特薄板의 베트·쌈溶接例를 表示한다. 그림15

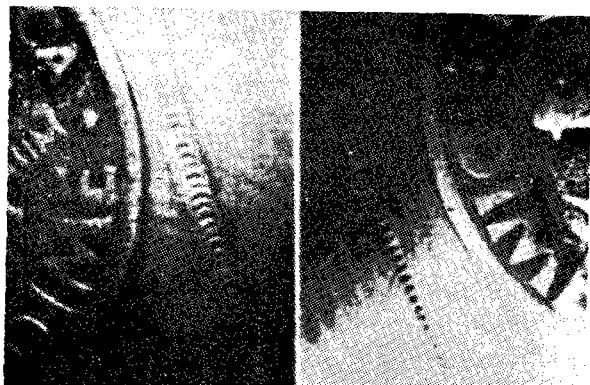


그림 14. 베트·쌈溶接例

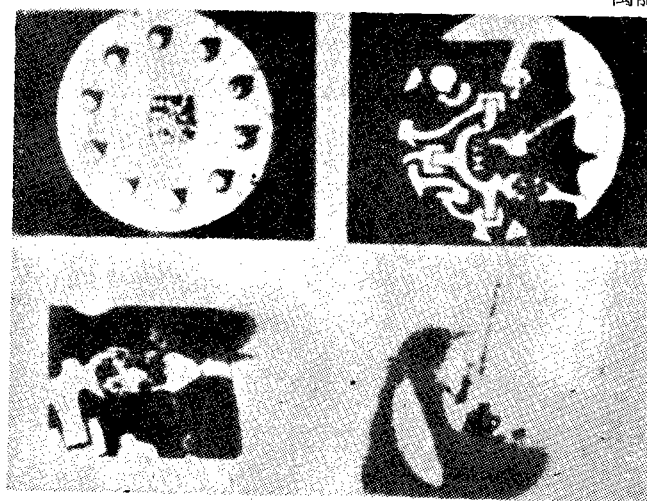


그림 15. 리드線의溶接

는超小形回路에서의리드線의溶接例이다. 그림16은 0.5mm인 Ni線의 램프溶接에서의레이저强度와溶接强度의關係를表示하는 實驗例이고, 레이저出力에最適點이 있다.

7. 結語

레이저加工은加工材에加工器具를接觸시키

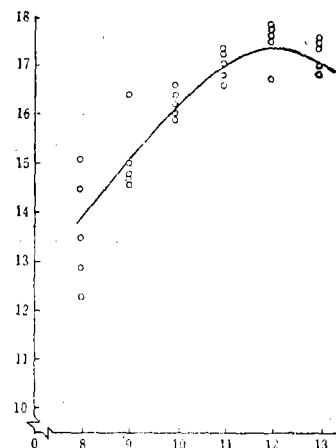


그림 16. レイ저出力과溶接強度

는 일 없이加工된다는特徵을 갖고 그應用으로서는

i) 金屬 및 非金屬의微小窄孔 ii) 微小回路部品의切斷, iii) 蒸着マスク의製作, iv) 薄膜의製作等이 생각되고 있다. 그러나 레이저에依한萬能加工機를 꿈꾸는 것은 틀린 생각이고 그適用範圍에嚴格한限界가 있는것을잊어서는 안된다.

問題點으로서는 i) 레이저出力を보다向上시킬것 ii) 보다微小한收束스포트徑을얻는것 iii) 窪孔 또는溶接條件에맞도록發振繼續時間레이저出力を보다正確하게制御하는 것.

iv) 펄스레이저에서는反復操作回數를增加하는것 v) 패턴加工을위해光의偏向制御技術을確立하는 것等이고 그解決에의努力이 여러곳에서行하여지고 있다.

參考文獻

- (1) S. Namba and P. H. Kim; Japan, J. Appl Phys. 3(1964)536
- (2) S. Namba and P. H. Kim: Sci. Papers I. P. C. R. 60(1966)91
- (3) 難波, 金:溶接學會誌, 34(1966)16
- (4) Editor; A. B. El-Kareh: "Proc. Electron and Laser Beam Symp" Penn. State Univ. (1965)
- (5) Editor: G. I. Haddad; "Proc. 8th Electron and Laser Beam Symp" Univ. Michigan. (1966)